ACTAS

DE LAS

VXXXVIII Jornadas de Automática

Gijón · Palacio de Congresos · 6, 7 y 8 de Septiembre de 2017







Actas de

XXXVIII Jornadas de Automática

© 2017 Universidad de Oviedo © Los autores

Servicio de Publicaciones de la Universidad de Oviedo Campus de Humanidades. Edificio de Servicios. 33011 Oviedo (Asturias) Tel. 985 10 95 03 Fax 985 10 95 07 http: www.uniovi.es/publicaciones servipub@uniovi.es

DL AS 2749-2017

ISBN: 978-84-16664-74-0

Todos los derechos reservados. De conformidad con lo dispuesto en la legislación vigente, podrán ser castigados con penas de multa y privación de libertad quienes reproduzcan o plagien, en todo o en parte, una obra literaria, artística o científica, fijada en cualquier tipo y soporte, sin la preceptiva autorización.

JA2017 Prefacio

Prefacio

Las Jornadas de Automática se celebran desde hace 40 años en una universidad nacional facilitando el encuentro entre expertos en esta área en un foro que permite la puesta en común de las nuevas ideas y proyectos en desarrollo. Al mismo tiempo, propician la siempre necesaria colaboración entre investigadores del ámbito de la Ingeniería de Control y Automática, así como de campos afines, a la hora de abordar complejos proyectos de investigación multidisciplinares.

En esta ocasión, las Jornadas estarán organizadas por la Universidad de Oviedo y se han celebrado del 6 al 8 de septiembre de 2017 en el Palacio de Congresos de Gijón, colaborando tanto la Escuela Politécnica de Ingeniería de Gijón (EPI) como el Departamento de Ingeniería Eléctrica, Electrónica de Computadores y de Sistemas del que depende el Área de Ingeniería de Sistemas y Automática.

Además de las habituales actividades científicas y culturales, esta edición es muy especial al celebrarse el **50 aniversario de la creación de CEA**, Comité Español de Automática. Igualmente este año se conmemora el 60 aniversario de la Federación Internacional del Control Automático de la que depende CEA. Así se ha llevado a cabo la presentación del libro que se ha realizado bajo la coordinación de D. Sebastián Dormido, sobre la historia de la Automática en España en una sesión en la que han participado todos los ex-presidentes de CEA conjuntamente con el actual, D. Joseba Quevedo.

Igualmente hemos contado con la presencia de conferenciantes de prestigio para las sesiones plenarias, comunicaciones y ponencias orales en las reuniones de los 9 grupos temáticos, contribuciones en formato póster. Se ha celebrado también el concurso de CEABOT, así como una nueva Competición de Drones, con el ánimo de involucrar a más estudiantes de últimos cursos de Grado/Máster.

En el marco de las actividades culturales programadas se ha podido efectuar un recorrido en el casco antiguo situado en torno al Cerro de Santa Catalina y visitar la Laboral.

Gijn, septiembre de 2017

Hilario López Presidente del Comité Organizador

JA2017 Program Committee

Program Committee

Antonio Agudo Institut de Robòtica i Informàtica Industrial

Rosa M Aguilar University of La Laguna. Luciano Alonso University of Cantabria Ignacio Álvarez García Universidad de Oviedo

Antonio Javier Artuñedo García Centre for Automation and Robotics (CSIC-UPM)

José M. Azorín Miguel Hernandez University of Elche

Pedro Balaguer Universitat Jaume I Antonio Javier Barragán Piña Universidad de Huelva Alfonso Baños Universidad de Murcia Guillermo Bejarano University of Seville

Gerardo Beruvides Centro de Automática y Robótica

Carlos Bordons University of Seville
Jose Manuel Bravo University of Huelva
Jose Luis Calvo-Rolle University of A Coruña

Fernando Castaño Romero Centro de Automática y Robótica (UPM -CSIC)

José Luis Casteleiro-Roca University of Coruña

Alvaro Castro-Gonzalez Universidad Carlos III de Madrid Ramon Costa-Castelló Universitat Politècnica de Catalunya

Abel A. Cuadrado University of Oviedo

Arturo De La Escalera Universidad Carlos III de Madrid

Emma Delgado Universidad de Vigo

Jose-Luis Diez Universitat Politecnica de Valencia

Manuel Domínguez Universidad de León Juan Manuel Escaño Universidad de Sevilla Mario Francisco University of Salamanca Maria Jesus Fuente Universidad de Valladolid Juan Garrido University of Cordoba Antonio Giménez Universidad de Almeria Evelio Gonzalez Universidad de La Laguna José-Luis Guzmán Universidad de Almería

Rodolfo Haber Center for Automation and Robotics (UPM-CSIC)

César Ernesto Hernández Universidad de Almería

Eloy Irigoyen UPV/EHU

Agustin Jimenez Universidad PolitAcnica de Madrid

Emilio Jiménez
University of La Rioja
Jesus Lozano
Universidad de Extremadura
Centro de Automática y Robótica
Luis Magdalena
Universidad Politécnica de Madrid
David Martin Gomez
Universidad Carlos III de Madrid
Fernando Matia
Universidad Politecnica de Madrid

Joaquim Melendez

Juan Mendez

Luis Moreno

Universidad de La Laguna

Universidad Carlos III de Madrid

Universidad de Extremadura

Universidad de Sorilla

David Muñoz Universidad de Sevilla Antonio José Muñoz-Ramirez Universidad de Málaga

Jose Luis Navarro Universidad Politecnica de Valencia

Manuel G. Ortega University of Seville

Andrzej Pawlowski UNED

Mercedes Perez de La Parte University of La Rioja

Ignacio Peñarrocha Universitat Jaume I de Castelló, Spain

José Luis Pitarch Universidad de Valladolid

JA2017 Program Committee

Daniel Pérez University of Oviedo
Emilio Pérez Universitat Jaume I
Juan Pérez Oria Universidad de Cantabria
MiguelÁngel Ridao Universidad de Sevilla
Gregorio Sainz-Palmero Universidad de Valladolid

Antonio Sala Universitat Politecnica de Valencia

Ester Sales-Setién Universitat Jaume I

Jose Sanchez UNED

Javier Sanchis Saez Universitat Politecnica de Valencia (UPV)

José Pedro Santos ITEFI-CSIC

Matilde Santos Universidad Complutense de Madrid

Alvaro Serna University of Valladolid

José Enrique Simó Universidad Politécnica de Valencia

José A. Somolinos ETS I Navales. Universidad Politecnica de Madrid

Fernando Tadeo Univ. of Valladolid

Alejandro Tapia Universidad de Loyola Andalucía

David Tena Universitat Jaume I
Jesús Torres Universidad de La Laguna
Pedro M. Vallejo Universidad de Salamanca
Guilherme Vianna Universidad de Sevilla

Alejandro Vignoni AI2 - UPV Ramón Vilanova UAB

Francisco Vázquez Universidad de Cordoba Jesús M. Zamarreño University of Valladolid JA2017 Revisores Adicionales

Revisores Adicionales

Al-Kaff, Abdulla

Balbastre, Patricia Beltrán de La Cita, Jorge Bermudez-Cameo, Jesus Blanco-Claraco, Jose-Luis Blanes, Francisco Bonin-Font, Francisco

Cancela, Brais

Ferraz, Luis

Garita, Cesar Gimenez, Antonio Gruber, Patrick Guindel, Carlos

Hernandez Ruiz, Alejandro Hernandez, Daniel

Jardón Huete, Alberto

López, Amable

Marin, Raul Marín Plaza, Pablo Mañanas, Miguel Angel Morales, Rafael Moreno, Francisco-Angel

Nuñez, Luis Ramón

Ponz Vila, Aurelio Posadas-Yague, Juan-Luis Poza-Luján, Jose-Luis Pumarola, Albert

Raya, Rafael Revestido Herrero, Elías Rocon, Eduardo Ruiz Sarmiento, José Raúl Ruiz, Adria

Torres, Jose Luis

Vaquero, Victor

Table of Contents

Ingeniería de Control	
TÚNEL DE AGUA PARA PRUEBAS Y CARACTERIZACIÓN DE DISEÑOS EXPERIMENTALES DE TURBINAS HIDROCINÉTICAS Eduardo Alvarez, Manuel Rico-Secades, Antonio Javier Calleja Rodríguez, Joaquín Fernández Francos, Aitor Fernández Jiménez, Mario Alvarez Fernández and Samuel Camba Fernández	1
Reduction of population variability in protein expression: A control engineering approach. Yadira Boada, Alejandro Vignoni and Jesús Picó	8
CONTROL ROBUSTO DEL PH EN FOTOBIORREACTORES MEDIANTE RECHAZO ACTIVO DE PERTURBACIONES	16
Control reset para maniobra de cambio de carril y validación con CarSim	23
Maniobra de aterrizaje autom atica de una Cessna 172P modelada en FlightGear y controlada desde un programa en C	31
Alternativas para el control de la red eléctrica aislada en parques eólicos marinos Carlos Díaz-Sanahuja, Ignacio Peñarrocha, Ricardo Vidal-Albalate and Ester Sales-Setién	38
CONTROL PREDICTIVO DISTRIBUIDO UTILIZANDO MODELOS DIFUSOS PARA LA NEGOCIACIÓN ENTRE AGENTES	46
Control Predictivo en el espacio de estados de un captador solar tipo Fresnel	54
Control predictivo para la operación eficiente de una planta formada por un sistema de desalación solar y un invernadero	62
Depuración de Aguas Residuales en la Industria 4.0	70
Control robusto con QFT del pH en un fotobioreactor raceway	77
Ángeles Hoyo Sánchez, Jose Luis Guzman, Jose Carlos Moreno and Manuel Berenguel	
Revisión sistemática de la literatura en ingeniería de sistemas. Caso práctico: técnicas de estimación distribuida de sistemas ciberfísicos	84
Carmelina Ierardi, Luis Orihuela Espina, Isabel Jurado Flores, Álvaro Rodriguéz Del Nozal and Alejandro Tapia Córdoba	
Desarrollo de un Controlador Predictivo para Autómatas programables basado en la normativa IEC 61131-3	92
Diseño de un emulador de aerogenerador de velocidad variable DFIG y control de pitch1 Manuel Lara Ortiz, Juan Garrido Jurado and Francisco Vázquez Serrano	100

abierto
Julio Luna and Ramon Costa-Castelló
Control Predictivo Basado en Datos
José María Manzano, Daniel Limón, Teodoro Álamo and Jan Peter Calliess
Control MPC basado en un modelo LTV para seguimiento de trayectoria con estabilidad garantizada
Sara Mata, Asier Zubizarreta, Ione Nieva, Itziar Cabanes and Charles Pinto
Implementación y evaluación de controladores basados en eventos en la norma IEC-61499.136 Oscar Miguel-Escrig, Julio-Ariel Romero-Pérez and Esteban Querol-Dolz
AUTOMATIZACIÓN Y MONITORIZACIÓN DE UNA INSTALACIÓN DE ENSAYO DE MOTORES
Alfonso Poncela Méndez, Miguel Ochoa Vega, Eduardo J. Moya de La Torre and F. Javier García Ruíz
OPTIMIZACIÓN Y CONTROL EN CASCADA DE TEMPERATURA DE RECINTO
MEDIANTE SISTEMAS DE REFRIGERACIÓN
Diseño LQ e implementación distribuida para la estimación de estado
Álvaro Rodríguez Del Nozal, Luis Orihuela, Pablo Millán Gata, Carmelina Ierardi and Alejandro Tapia Córdoba
Estimación de fugas en un sistema industrial real mediante modelado por señales aditivas. 160 Ester Sales-Setién, Ignacio Peñarrocha and David Tena
Advanced control based on MPC ideas for offshore hydrogen production
Transfer function parameters estimation by symmetric send-on-delta sampling
An Estimation Approach for Process Control based on Asymmetric Oscillations
Robust PI controller for disturbance attenuation and its application for voltage regulation in islanded microgrid
Infraestructura para explotación de datos de un simulador azucarero
Automar
INFRAESTRUCTURA PARA ESTUDIAR ADAPTABILIDAD Y TRANSPARENCIA EN EL CENTRO DE CONTROL VERSÁTIL
Juan Antonio Bonache Seco, José Antonio Lopez Orozco, Eva Besada Portas and Jesús Manuel de La Cruz
ARQUITECTURA DE CONTROL HÍBRIDA PARA LA NAVEGACI ÓN DE
VEHÏCULOS SUBMARINOS NO TRIPULADOS

Acústicos
Oscar L. Manrique Garcia, Mario Andrei Garzon Oviedo and Antonio Barrientos
AUTOMATIZACIÓN DE MANIOBRAS PARA UN TEC DE 2GdL 220
Marina Pérez de La Portilla, José Andrés Somolinos Sánchez, Amable López Piñeiro, Rafael Morales Herrera and Eva Segura
MERBOTS PROJECT: OVERALL DESCRIPTION, MULTISENSORY AUTONOMOUS PERCEPTION AND GRASPING FOR UNDERWATER ROBOTICS INTERVENTIONS
Pedro J. Sanz, Raul Marin, Antonio Peñalver, David Fornas and Diego Centelles
Bioingeniería
MARCADORES CUADRADOS Y DEFORMACIÓN DE OBJETOS EN NAVEGACIÓN QUIRÚRGICA CON REALIDAD AUMENTADA
Eliana Aguilar, Oscar Andres Vivas and Jose Maria Sabater-Navarro
Entrenamiento robótico de la marcha en pacientes con Parálisis Cerebral: definición de objetivos, propuesta de tratamiento e implementación clínica preliminar
Cristina Bayón, Teresa Martín-Lorenzo, Beatriz Moral-Saiz, Óscar Ramírez, Álvaro Pérez-Somarriba, Sergio Lerma-Lara, Ignacio Martínez and Eduardo Rocon
PREDICCIÓN DE ACTIVIDADES DE LA VIDA DIARIA EN ENTORNOS INTELIGENTES PARA PERSONAS CON MOVILIDAD REDUCIDA
Francisco Javier Badesa and Nicolas Garcia-Aracil
Sistema de Visión Estereoscópico para el guiado de un Robot Quirúrgico en Operaciones de Cirugía Laparoscópica HALS
Lidia Santos Del Blanco
Head movement assessment of cerebral palsy users with severe motor disorders when they control a computer thought eye movements
Alejandro Clemotte, Miguel A. Velasco and Eduardo Rocon
Diseño de un sensor óptico de fuerza para exoesqueletos de mano
POSIBILIDADES DEL USO DE TRAMAS ARTIFICIALES DE IMAGEN MOTORA PARA UN BCI BASADO EN EEG
Josep Dinarès-Ferran, Christoph Guger and Jordi Solé-Casals
EFECTOS SOBRE LA ERD EN TAREAS DE CONTROL DE EXOESQUELETO DE MANO EMPLEANDO BCI
Santiago Ezquerro, Juan Antonio Barios, Arturo Bertomeu-Motos, Luisa Lorente, Nuria Requena, Irene Delegido, Francisco Javier Badesa and Nicolas Garcia-Aracil
Formulación Topológica Adaptada para la Simulación y Control de Exoesqueletos Accionados con Transmisiones Harmonic Drive

Identificación de contracciones isométricas de la extremidad superior en pacientes con lesión medular incompleta mediante características espectrales de la electromiografía de alta densidad (HD-EMG)
Diseño de una plataforma para analizar el efecto de la estimulación mecánica aferente en el temblor de pacientes con temblor esencial
DEFINICIÓN DE UN PROTOCOLO PARA LA MEDIDA PRECISA DEL RANGO CERVICAL EMPLEANDO TECNOLOGÍA INERCIAL
SISTEMA BRAIN-COMPUTER INTEFACE DE NAVEGACIÓN WEB ORIENTADO A PERSONAS CON GRAVE DISCAPACIDAD
ESTRATEGIAS DE NEUROESTIMULACIÓN TRANSCRANEAL POR CORRIENTE DIRECTA PARA MEJORA COGNITIVA
COMPARATIVA DE ALGORITMOS PARA LA DETECCIÓN ONLINE DE IMAGINACIÓN MOTORA DE LA MARCHA BASADO EN SEÑALES DE EEG 328 Marisol Rodriguez-Ugarte, Irma Nayeli Angulo Sherman, Eduardo Iáñez and Jose M. Azorin
DETECCIÓN, MEDIANTE UN GUANTE SENSORIZADO, DE MOVIMIENTOS SELECCIONADOS EN UN SISTEMA ROBOTIZADO COLABORATIVO PARA HALS 334 Lidia Santos, José Luis González, Eusebio de La Fuente, Juan Carlos Fraile and Javier Pérez Turiel
BIOSENSORES PARA CONTROL Y SEGUIMIENTO PATOLOGÍAS REUMATOIDES
Amparo Tirado, Raúl Marín, José V Martí, Miguel Belmonte and Pedro Sanz
Assessment of tremor severity in patients with essential tremor using smartwatches 347 Miguel A. Velasco, Roberto López-Blanco, Juan P. Romero, M. Dolores Del Castillo, J. Ignacio Serrano, Julián Benito-León and Eduardo Rocon
INTERFAZ CEREBRO-ORDENADOR PARA EL CONTROL DE UNA SILLA DE RUEDAS A TRAVÉS DE DOS PARADIGMAS DE NAVEGACIÓN
$Fern\'andez-Rodr\'iguez \'Alvaro, \ Velasco-\'Alvarez \ Francisco \ and \ Ricardo \ Ron-Angevin$
Control Inteligente
Aprendizaje por Refuerzo para sistemas lineales discretos con dinámica desconocida: Simulación y Aplicación a un Sistema Electromecánico
Diseño de sistemas de control en cascada clásico y borroso para el seguimiento de
trayectorias

ANALISIS FORMAL DE LA DINAMICA DE SISTEMAS NO LINEALES MEDIANTE REDES NEURONALES
Eloy Irigoyen, Mikel Larrea, A. Javier Barragán, Miguel Ángel Martínez and José Manuel Andújar
Predicción de la energía renovable proveniente del oleaje en las islas de Fuerteventura y Lanzarote
G.Nicolás Marichal, Deivis Avila, Ángela Hernández, Isidro Padrón and José Ángel Rodríguez
Aplicación de Redes Neuronales para la Estimación de la Resistencia al Avance en Buques 393 Daniel Marón Blanco and Matilde Santos
Novel Fuzzy Torque Vectoring Controller for Electric Vehicles with per-wheel Motors 401 Alberto Parra, Martín Dendaluce, Asier Zubizarreta and Joshué Pérez
REPOSTAJE EN TIERRA DE UN AVIÓN MEDIANTE ALGORITMOS GENÉTICOS . 408 Elías Plaza and Matilde Santos
VISUALIZACIÓN WEB INTERACTIVA PARA EL ANÁLISIS DEL CHATTER EN
LAMINACIÓN EN FRÍO
BANCADA PARA ANÁLISIS INTELIGENTE DE DATOS EN MONITORIZACIÓN DE SALUD ESTRUCTURAL
Daniel Pérez López, Diego García Pérez, Ignacio Díaz Blanco and Abel Alberto Cuadrado Vega
CONTROL DE UN VEHÍCULO CUATRIRROTOR BASADO EN REDES NEURONALES
Jesus Enrique Sierra and Matilde Santos
CONTROL PREDICTIVO FUZZY CON APLICACIÓN A LA DEPURACIÓN BIOLÓGICA DE FANGOS ACTIVADOS
Educación en Automática
REFLEXIONES SOBRE EL VALOR DOCENTE DE UNA COMPETICION DE DRONES EN LA EDUCACIÓN PARA EL CONTROL
Uso del Haptic Paddle con aprendizaje basado en proyectos
Juan M. Gandarias, Antonio José Muñoz-Ramírez and Jesus Manuel Gomez-De-Gabriel PERPESENTACION INTEGRADA DE ACCIONAMIENTOS MECANICOS V
REPRESENTACION INTEGRADA DE ACCIONAMIENTOS MECANICOS Y CONTROL DE EJES ORIENTADA A LA COMUNICACIÓN Y DOCENCIA EN MECATRONICA
Julio Garrido Campos, David Santos Esterán, Juan Sáez López and José Ignacio Armesto Quiroga
Construcción y modelado de un prototipo fan & plate para prácticas de control automático 465 Cristina Lampon, Javier Martin, Ramon Costa-Castelló and Muppaneni Lokesh Chowdary

EDUCACION EN AUTOMATICA E INDUSTRIA 4.0 MEDIANTE LA APLICACIÓN DE TECNOLOGÍAS 3D
Jose Ramon Llata, Esther Gonzalez-Sarabia, Carlos Torre-Ferrero and Ramon Sancibrian
Desarrollo e implementación de un sistema de control en una planta piloto hibrida47 Maria P. Marcos, Cesar de Prada and Jose Luis Pitarch
LA INFORMÁTICA INDUSTRIAL EN LAS INGENIERÍAS INDUSTRIALES
Ventajas docentes de un flotador magnético para la experimentación de técnicas control 49 Eduardo Montijano, Carlos Bernal, Carlos Sagües, Antonio Bono and Jesús Sergio Artal
PROGRAMACIÓN ATRACTIVA DE PLC
MODERNIZACIÓN DE EQUIPO FEEDBACK MS-150 PARA EL APRENDIZAJE ACTIVO EN INGENIERÍA DE CONTROL
INNOVACIÓN PEDAGÓGICA EN LA FORMACIÓN DEL PERFIL PROFESIONAL PARA EL DESARROLLLO DE PROYECTOS DE AUTOMATIZACIÓN INDUSTRIAL A TRAVÉS DE UNA APROXIMACIÓN HOLÍSTICA
Aprendiendo Simulación de Eventos Discretos con JaamSim
RED NEURONAL AUTORREGRESIVA NO LINEAL CON ENTRADAS EXÓGENAS PARA LA PREDICCIÓN DEL ELECTROENCEFALOGRAMA FETAL52 Rosa M Aguilar, Jesús Torres and Carlos Martín
ANÁLISIS DEL COEFICIENTE DE TRANSFERENCIA DE MATERIA EN REACTORES RACEWAYS
MODELADO DINÁMICO DE UN SISTEMA DE ALMACENAMIENTO DE FRÍO VINCULADO A UN CICLO DE REFRIGERACIÓN
Predictor Intervalar basado en hiperplano soporte
Dynamic simulation applied to refinery hydrogen networks

3
9
5
2
9
6
1
1
3
6
3
1
9
7

DISEÑO DE UNA PRÓTESIS DE MANO ADAPTABLE AL CRECIMIENTO 664 Marta Ayats and Raul Suarez
COOPERATIVISMO BIOINSPIRADO BASADO EN EL COMPORTAMIENTO DE LAS HORMIGAS
Brayan Bermudez, Kristel Novoa and Miguel Valbuena
PROCEDIMIENTO DE DISEÑO DE UN EXOESQUELETO DE MIEMBRO SUPERIOR PARA SOPORTE DE CARGAS
Badesa Clemente, Miguel Ignacio Sanchez and Nicolas Garcia Aracil
Estructura de control en ROS y modos de marcha basados en máquinas de estados de un robot hexápodo
USING AN UAV TO GUIDE THE TELEOPERATION OF A MOBILE MANIPULATOR
Estudio de los patrones de marcha para un robot hexápodo en tareas de búsqueda y rescate
SISTEMA DE INTERACCIÓN VISUAL PARA UN ROBOT SOCIAL
Mejora del Comportamiento Proxémico de un Robot Autónomo mediante Motores de Inteligencia Artificial Desarrollados para Plataformas de Videojuegos
Micrófonos de contacto: una alternativa para sensado tactil en robots sociales
Clasificación de información táctil para la detección de personas
Planificación para interceptación de objetivos: Integración del Método Fast Marching y Risk-RRT738
David Alfredo Garzon Ramos, Mario Andrei Garzon Oviedo and Antonio Barrientos
ESTABILIZACIÓN DE UNA BOLA SOBRE UN PLANO UTILIZANDO UN ROBOT PARALELO 6-RSS
TELEOPERACIÓN DE INSTRUMENTOS QUIRÚRGICOS ARTICULADOS
CONTROL OF A ROBOTIC ARM FOR TRANSPORTING OBJECTS BASED ON NEURO-FUZZY LEARNING VISUAL INFORMATION
Juan Hernández Vicén, Santiago Martínez de La Casa Díaz and Carlos Balaguer
PLATAFORMA BASADA EN LA INTEGRACIÓN DE MATLAB Y ROS PARA LA DOCENCIA DE ROBÓTICA DE SERVICIO

Estimadores de fuerza y movimiento para el control de un robot de rehabilitación de extremidad superior
Aitziber Mancisidor, Asier Zubizarreta, Itziar Cabanes, Pablo Bengoa and Asier Brull
Definiendo los elementos que constituyen un robot social portable de bajo coste
Interfaces táctiles para Interacción Humano-Robot
HERRAMIENTAS DE ENTRENAMIENTO Y MONITORIZACIÓN PARA EL DESMINADO HUMANITARIO
Control a Baja Velocidad de una Rueda con Motor de Accionamiento Directo mediante Ingeniería Basada en Modelos
SIMULACIÓN DE VEHÍCULOS AUTÓNOMOS USANDO V-REP BAJO ROS
Cinemática y prototipado de un manipulador paralelo con centro de rotación remoto para robótica quirúrgica
ANÁLISIS DE ESTABILIDAD DE SINGULARIDADES AISLADAS EN ROBOTS PARALELOS MEDIANTE DESARROLLOS DE TAYLOR DE SEGUNDO ORDEN821
Adrián Peidró Vidal, Óscar Reinoso, Arturo Gil, José María Marín and Luis Payá
INTERFAZ DE CONTROL PARA UN ROBOT MANIPULADOR MEDIANTE REALIDAD VIRTUAL
Evolución de la robótica social y nuevas tendencias
Carlos Castillo Montoya and Miguel A. Salichs DISEÑO MECÁNICO DE UN ASISTENTE ROBÓTICO CAMARÓGRAFO CON APRENDIZAJE COGNITIVO
CÁLCULO DE FUERZAS DE CONTACTO PARA PRENSIONES BIMANUALES852 Francisco Abiud Rojas-De-Silva and Raul Suarez
Modelado del Contexto Geométrico para el Reconocimiento de Objetos
Estimación Probabilística de Áreas de Emisión de Gases con un Robot Móvil Mediante la Integración Temporal de Observaciones de Gas y Viento

MANIPULADOR AEREO CON BRAZOS ANTROPOMORFICOS DE ARTICULACIONES FLEXIBLES								
Alejandro Suarez, Guillermo Heredia and Anibal Ollero								
EVALUACIÓN DE UN ENTORNO DE TELEOPERACIÓN CON ROS								
Sistemas de Tiempo Real								
GENERACIÓN DE CÓDIGO IEC 61131-3 A PARTIR DE DISEÑOS EN GRAFCET892 Maria Luz Alvarez Gutierrez, Isabel Sarachaga Gonzalez, Arantzazu Burgos Fernandez, Nagore Iriondo Urbistazu and Marga Marcos Muñoz								
CONTROL EN TIEMPO REAL Y SUPERVISIÓN DE PROCESOS MEDIANTE SERVIDORES OPC-UA								
Francico Blanes Noguera and Andrés Benlloch Faus								
Control de la Ejecución en Sistemas de Criticidad Mixta								
GENERACIÓN AUTOMÁTICA DEL PROYECTO DE AUTOMATIZACIÓN TIA PORTAL PARA MÁQUINAS MODULARES								
DDS en el desarrollo de sistemas distribuidos heterogéneos con soporte para criticidad mixta								
Hector Perez and J. Javier Gutiérrez								
ARQUITECTURA DISTRIBUIDA PARA EL CONTROL AUTÓNOMO DE DRONES EN INTERIOR								
Ingeniería Conducida por Modelos en Sistemas de Automatización Flexibles								
Estudio e implementación de Middleware para aplicaciones de control distribuido								
Visión por Computador								
Real-Time Image Mosaicking for Mapping and Exploration Purposes								
ALGORITMO DE SLAM UTILIZANDO APARIENCIA GLOBAL DE IMÁGENES OMNIDIRECCIONALES								
Medición de Oximetría de Pulso mediante Imagen fotopletismográfica								
Algoritmo de captura de movimiento basado en visión por computador para la teleoperación de robots humanoides								

COMPARACIÓN DE MÉTODOS DE DETECCIÓN DE ROSTROS EN IMÁGENES DIGITALES
Natalia García Del Prado, Victor Gonzalez Castro, Enrique Alegre and Eduardo Fidalgo Fernández
LOCALIZACIÓN DEL PUNTO DE FUGA PARA SISTEMA DE DETECCIÓN DE LÍNEAS DE CARRIL
Oculus-Crawl, a Software Tool for Building Datasets for Computer Vision Tasks
Clasificación automática de obstáculos empleando escáner láser y visión por computador999 Aurelio Ponz, Fernando Garcia, David Martin, Arturo de La Escalera and Jose Maria Armingol
T-SCAN: OBTENCIÓN DE NUBES DE PUNTOS CON COLOR Y TEMPERATURA EN INTERIOR DE EDIFICIOS
EVALUACIÓN DE MÉTODOS PARA REALIZAR RESÚMENES AUTOMÁTICOS DE VÍDEOS1015
Pablo Rubio, Eduardo Fidalgo, Enrique Alegre and Víctor González
SIMULADOR PARA LA CREACIÓN DE MUNDOS VIRTUALES PARA LA ASISTENCIA A PERSONAS CON MOVILIDAD REDUCIDA EN SILLA DE RUEDAS. 1023 Carlos Sánchez Sánchez, María Cidoncha Jiménez, Emiliano Pérez, Ines Tejado and Blas M. Vinagre
Calibración Extrínseca de un Conjunto de Cámaras RGB-D sobre un Robot Móvil 1031 David Zúñiga-Nöel, Rubén Gómez Ojeda, Francisco-Ángel Moreno and Javier González Jiménez

COMPARATIVA DE ALGORITMOS PARA LA DETECCIÓN ONLINE DE IMAGINACIÓN MOTORA DE LA MARCHA BASADO EN SEÑALES DE EEG

M. Rodríguez-Ugarte¹, I.N. Angulo-Sherman², E. Iáñez¹, J.M. Azorín¹

¹Brain Machine Interfaces Systems Lab. Universidad Miguel Hernández de Elche

Avda de la Universidad s/n, 03202 Elche, España, {maria.rodriguezu, eianez, mortiz, jm.azorin}@umh.es

² Center for Research and Advanced Studies (Cinvestav), iangulo@civestav.mx

Resumen

Las interfaces cerebro-máquina son cada vez más usadas para mejorar el proceso de rehabilitación de personas que han sufrido un accidente cerebrovascular. En este trabajo se comparan dos algoritmos para determinar cuál de ellos ofrece mayor precisión de manera online dos tareas mentales: imaginación de marcha y relajación. Ambos algoritmos detectan los cambios en la potencia a través de la desincronización y sincronización de eventos relacionados. El algoritmo 1 está basado en la media de las bandas de frecuencia 8-13 Hz y 20-35 Hz por cada electrodo. El algoritmo 2 se fundamenta en la potencia a la frecuencia de máxima variabilidad entre las dos tareas en cada electrodo. Los resultados indican que el algoritmo 2 ofrece mayor precisión que el algoritmo 1 en 4 de 5 usuarios.

Palabras clave: comparación algoritmos, imaginación marcha, EEG

1. INTRODUCCIÓN

La Sociedad Española de Neurología declaró que en los últimos 20 años, el número de casos que han sufrido un ictus o accidente cerebrovascular (ACV) entre 20 y 64 años ha aumento un 25 % [5]. Muchos de estos casos quedan con problemas motores en las extremidades inferiores. Por ello, se está investigando sobre cómo mejorar el proceso de rehabilitación de estas personas. Una técnica cada vez más común son las interfaces cerebro-máquina (Brain Computer interfaces, BCI, en inglés). Éstas presentan una conexión o comunicación alternativa entre el cerebro y las extremidades afectadas. En otras palabras, las BCI traducen las señales neuronales y las transforman en comandos para controlar un dispositivo externo, como por ejemplo un exoesqueleto [9].

Existen varios paradigmas para mejorar el proceso de rehabilitación de las personas que han sufrido un ACV. Entre los más comunes se encuentran: ejecución motora de la actividad (EM) e imaginación motora de la actividad (IM). EM se basa en la realización del movimento que potencia la

rehabilitación del área afectada mientras que IM se fundamenta en la imaginación de la actividad motora sin llegar a ejecutarla [3]. Un estudio publicado por Ang [1], usando resonancia magnética funcional, comprobó que EM e IM activaban áreas similares del cerebro, entre ellas: corteza motora (M1), corteza premotora (PM), área motora suplementaria (AMS) y la corteza primaria somatosensorial (S1) [2].

Además, IM está relacionado con la atenuación de potencia en la electroencefalografía (EEG) y es comunmente conocida como desincronización y sincronización de eventos relacionados (event-related desynchronization, ERD y event-related synchronization, ERS, en inglés) en la banda alpha (6-12 Hz) y beta (16-31 Hz) [4].

En este trabajo se van a estudiar dos tipos de algoritmos en una BCI para saber cuál ofrece mayor precisión a la hora de detectar de manera online dos tareas de imaginación: relajación e imaginación de marcha. Ambos tratan de detectar los cambios de potencia ERD/ERS pero en diferentes bandas de frecuencia. El algoritmo que mejores resultados obtenga, será utilizado para analizar la plasticidad de los usuarios en pruebas realizadas durante cinco días consecutivos.

2. MATERIALES Y MÉTODOS

En este apartado se van a explicar los materiales y métodos utilizados para determinar qué algoritmo de señales EEG ha de usar la BCI para obtener la mayor precisión a la hora de clasificar dos estados mentales: imaginación de marcha y relajación.

2.1. EXPERIMENTO

El experimento consiste en detectar tareas de relajación e imaginación de marcha. El usuario se situó a unos 80 cm de una pantalla que indicaba las instrucciones de la prueba (Figura 1). Cada sesión consta de 12 pruebas. Cada prueba consta de 10 bloques tanto de relajación como imaginación motora. Los bloques de relajación eran identificados por el usuario por la palabra «Relaja» y los de imaginación por la palabra «Imagina». La

duración de cada bloque de tarea dura entre 4 y 5.4 segundos siendo el orden de aparición aleatorio pero sin sobrepasar más de dos veces seguidas la misma tarea. Esto se ha realizado así para evitar que el usuario se espere qué tarea ha de realizar y que las señales EEG no adquieran una rutina. Entre los bloques de las tareas se presenta el símbolo + para que el usuario descanse. La secuencia temporal de una prueba puede verse en la Figura 2. Se avisó a los sujetos que durante los bloques de tareas parpadearan, tragaran o se movieran lo mínimo posible, pudiendo hacer dichos gestos preferiblemente durante el símbolo +, ya que dichos datos no se usan para realizar el análisis. Por lo tanto, una sesión dura entre 1.50 y 1.73 minutos. El total del experimento, entre la colocación del gorro, descanso entre pruebas y las pruebas en sí, duró sobre 1 hora.

2.2. SUJETOS

Cinco usuarios sanos entre 29 y 45 años (3 mujeres y 2 hombres) han participado en este estudio. Ninguno de ellos reportó tener enfermedades neuronales y todos dieron su consentimiento informado para realizar dichas pruebas. El estudio fue aprobado por el Comité Ético de la Oficina Evaluadora de Proyectos de la Universidad Miguel Hernández de Elche.

2.3. ADQUISICIÓN DE SEÑALES EEG

Se ha utilizado el sistema StarStim 32 de Neuroelectrics para adquirir 30 señales EEG de acuerdo al Sistema Internacional 10/10 (FP1, FP2, AF3, AF4, F4, F3, FC6, FC2, FC1, FC5, FZ, C1, C3, CZ, C2, C4, P7, P4, PZ, P3, P8, O1, O2, OZ, PO4, CP6, CP2, CP1, CP5, and PO3) a una frecuencia de muestreo de 500 Hz. En términos de software, Neuroelectrics Instrument Controller (NIC) y la plataforma de Matlab, fueron usados para adquirir los datos mientras las rutinas en Matlab también controlaban las indicaciones visuales que se ofrecían al usuario.

2.4. ANALISIS SEÑALES EEG

Una vez obtenidas las señales EEG se procede a su análisis para extraer las características que mejor definan las dos tareas: imaginación motora del pedaleo y relajación. Se han realizado dos tipos de algoritmos: P1 está fundado en el cambio de potencia en la corteza motora de la banda μ (8-13) Hz y la banda 20-35 Hz y P2 basado en los cambios de potencia a la frecuencia, entre 6-30 Hz, que tienen máxima varianza entre las tareas para cada electrodo de la corteza motora. Ambos algoritmos tienen el inconveniente de que haya movimientos

involuntarios de cabeza o musculares. Sin embargo, las frecuencias asociadas a estos artefactos son rechazadas y la señal es tratada para evitarlos.

2.4.1. ALGORITMO P1

Este algoritmo está basado en [6] debido a los buenos resultados obtenidos en offline (precisión obtenida media para 3 usuarios del 70.8 %). La señal es procesada en ventanas de 1 segundo cada 0.2 segundos. Por cada ventana se seleccionan los canales Cz, Pz, Fz, FC1, FC2, CP1, CP2, C3 y C4 y se aplica un filtro Laplaciano a los nueve canales. Después, se procesan paralelamente dos filtros pasabanda de segundo orden: 8-13 Hz y 20-35 Hz. A continuación, para cada una de las bandas, las señales son elevadas al cuadrado. Luego, cada señal es suavizada asignando el valor medio de los útimos 8 segundos de la potencia espectral. Tal suavizado introduce variaciones lentas en la señal, por lo que posteriormente se quitó la tendencia lineal de los útimos 8 segundos. Tras haber eliminado la tendencia lineal, se calcula la media de la última ventana, obteniendo la característica buscada. Este algoritmo utiliza 18 características en total por cada ventana procesada (2 características por electrodo debido a que hay dos bandas de frecuencia).

2.4.2. ALGORITMO P2

Este algoritmo está basado en [7] por los buenos resultados obtenidos offline (preción obtenida media para 5 usuarios del 77%). En este algoritmo, la señal también es procesada en ventanas de 1 segundo cada 0.2 segundos. Para los 30 canales adquiridos se realiza un filtro Butterworth paso alto de cuarto orden con frecuencia de corte 0.05 Hz. Posteriormente se usa un filtro notch a 50 Hz para quitar la señal eléctrica y luego se utiliza un filtro Butterworth de cuardo orden paso bajo con frecuencia de corte 45Hz. Después se aplica un filtro Laplaciano y se seleccionan los canales de salida: Cz, CP1, CP2, C1, C2, C3, C4, FC1 v FC2. A continuación se busca por cada electrodo, la frecuencia entre 6 y 30 Hz que obtenga máxima diferencia de potencia entre las dos tareas, y la denominamos frecuencia óptima. Seguidamente se calcula la potencia de cada electrodo a su frecuencia óptima. Este procesamiento utiliza 9 características en total por cada ventana procesada.

2.4.3. CLASIFICADOR

Las señales procesadas de las primeras 4 pruebas fueron utilizadas para entrenar el clasificador. Para el procesamiento P1, se usó un clasificador Bayesiano ingenuo para identificar MI y la relajación. Para el procesamiento P2, se utilizó un clasificador



Figura 1: Montaje experimental para la realización del experimeto. La pantalla situada enfrente del usuario da instrucciones acerca de la tarea que debe de realizar. Mientras, se están adquiriendo las señales EEG.



Figura 2: Representación temporal del protocolo. El orden de aparición de Imagina y Relaja es aleatorio sin que una tarea se repita más de dos veces consecutivas.

máquina soporte vectorial (Support Vector Machine, SVM, en inglés) con un kernel de función de base radial. Cada procesamiento tiene distinto clasificador debido a que se habían probado de esta manera offline consiguiendo una media de precisión para todos los usuarios de $70.8\,\%$ para P1 y del $77\,\%$ para el P2 en trabajos anteriores [6] y [7] respectivamente.

Posteriormente se realizaron 4 pruebas online alternativamente con cada uno de los dos procesamientos para testear la precisión de la clasificación, calculada como el porcentage de clasificaciones correctas en una prueba. Para este tipo de pruebas, además de aparecer en la pantalla la palabra «Relaja» o «Imagina», aparecía una barra verde indicando la precisión con que estaba siendo ejecutada dicha tarea. Esta barra verde da realimentación positiva al usuario ya que no desciende si la tarea no es bien ejecutada.

Cuadro 1: Frecuencia óptima de cada electrodo del algoritmo 2 para los 5 usuarios (U1-U5)

	U1	U2	U3	U4	U5
O.F.	4.0		24	~~	20
CZ	18	17	21	25	28
CP1	29	18	6	25	10
CP2	9	16	6	27	30
C1	18	18	21	25	30
C2	19	17	6	6	28
C3	9	16	6	25	11
C4	9	11	6	25	29
FC1	10	18	6	27	29
FC2	9	17	12	25	28

Cuadro 2: Precisión (%) de las cuatro pruebas realizados por el algoritmo 1 y 2 de los 5 usuarios (U1-U5)

	Rep	U1	U2	U3	U4	U5
P1	1	46.4	39.8	56.9	53.7	50.9
	2	45.5	56.3	44.9	56.6	45.0
	3	49.4	58.3	55.2	50.6	59.7
	4	44.3	38.8	52.3	49.7	57.4
P2	1	58.3	49.1	51.1	47.3	72.1
	2	52.6	58.9	61.0	44.6	81.2
	3	54.7	60.2	61.3	49.0	77.9
	4	50.9	59.3	61.0	50.8	70.8

3. RESULTADOS

La Tabla 1 muestra la frecuencia óptima por electrodos de todos los usuarios obtenida con el procesamiento 2. La diferencia de potencia a estas frecuencias entre las dos tareas es máxima para poder separa las clases más fácilmente.

La Tabla 2 muestra la precisión obtenida por cada sujeto con el procesamiento P1 y P2 de cada una de las pruebas realizadas. En ella, se puede apreciar si el usuario está aprendiendo a controlar la BCI comparando el resultado obtenido al iniciar los respectivos bloques de P1 y P2 con su finalización. Por otro lado, la Figura 3 representa la media de todas las pruebas por usuario, pudiendo observar cuál de los dos procesamientos consigue una mayor precisión.

4. DISCUSION

De los resultados anteriores de la Tabla 2 se puede observar que utilizando el procesamiento P1, sólo el sujeto 5 mejora (un 6,5 %) respecto a la primera sesión. Sin embargo, para el procesamiento P2, los usuarios 2, 3 y 4 incrementan un 10.2%, 9.9%y 3.5 % respectivamente. Comparando la precisión adquirida por cada usuario usando los dos procesamientos, parece ser que P2 obtiene mayor precisión para 4 de los 5 usuarios. Sólo el sujeto 4 presenta un incremento del 4.74% al utilizar el procesamiento P1. Los usuarios U1, U2 y U3 obtienen de media un 7.54 % de mejora respecto a P1 mientras que U5 mejora un 22.3 %, siendo éste el que mejor resultados obtiene en la sesión, llegando a sobrepasar el 80 % en una de las pruebas. Por lo tanto, la uniformidad mostrada de la frecuncia óptima de los sujetos 2 y 4 de la Tabla 1 no representa ningún indicativo de cómo va a ser el clasificador de preciso.

La Figura 4 representa el espectro de frecuencias

a lo largo del tiempo del electrodo Cz del usuario 5. La línea roja representa la tarea que se está realizando. Cuando ésta es 27, el usuario está imaginando, mientras que cuando es 12, el sujeto está en al fase de relajación y el 0 representa el símbolo '+índicando el cambio de tarea. En ella se puede ver el ERD/ERS que se produce cuando se realizan las taeas. Como era de esperar, cuando el sujeto está imaginando, se produce una atenuación de la potencia en el EEG mientras que cuando se encuentra en la tarea de relajación, se produce una sincronización de las ondas de EEG produciendo un aumento de potencia. Recordemos que el procesamiento 1 toma dos característica por electrodo, la media elevado al cuadrado de las potencias entre 8-13 Hz y 20-35 Hz y el procesamiento 2 escoge la potencia a la frecuencia que mayor variación existe entre las tareas. Una posible explicación de por qué se obtiene mejores resultados con el procesamiento P2, puede verse en esta figura. El usuario 5, en esta prueba y usando el procesamiento 2, obtuvo en el electrodo Cz la frecuencia óptima de 28 Hz (Tabla 1). Por ello y fijándonos en la Figura 4, se ve que si se utiliza el procesamiento P1 en el electrodo Cz cueste más realizar la separación entre clases que con el procesamiento 2, que se ve una clara distinción entre clases a la frecuencia de 28 Hz.

5. CONCLUSIONES

El objetivo de este trabajo era desarrollar una BCI capaz de detectar con la mayor precisión dos tareas de imaginación:una tarea compleja motora, como es la marcha, y la relajación. Para ellos se han desarrollado dos algoritmos. Se ha visto que el procesamiento P2 ofrece más precisión que el P1 en 4 usuarios de 5, alcanzando uno de ellos una media del 75.5 %. Este algoritmo se basa en obtener por cada usuario, la potencia a la frecuancia óptima de cada eleclectrodo. Los resultados obtenidos no son muy elevados pero este procesamiento va a ser utilizado para ver la plasticidad adquirida durante cinco días, por lo que como punto de partida son buenos resultados.

Además, esta estrategia se va a probar en usuarios sanos aplicando estimulación transcraneal por corriente continua (transcranial direct current stimulation, tDCS, en inglés). El tDCS es una técnica de neuromodulación que se utilizará para ver si mejora la plasticidad de los usuarios.

Agradecimientos

Esta investigación ha sido realizada en el marco del proyecto Associate - Decodificación y estimulación de actividad cerebral sensorial y motora para permitir potenciación a largo plazo mediante

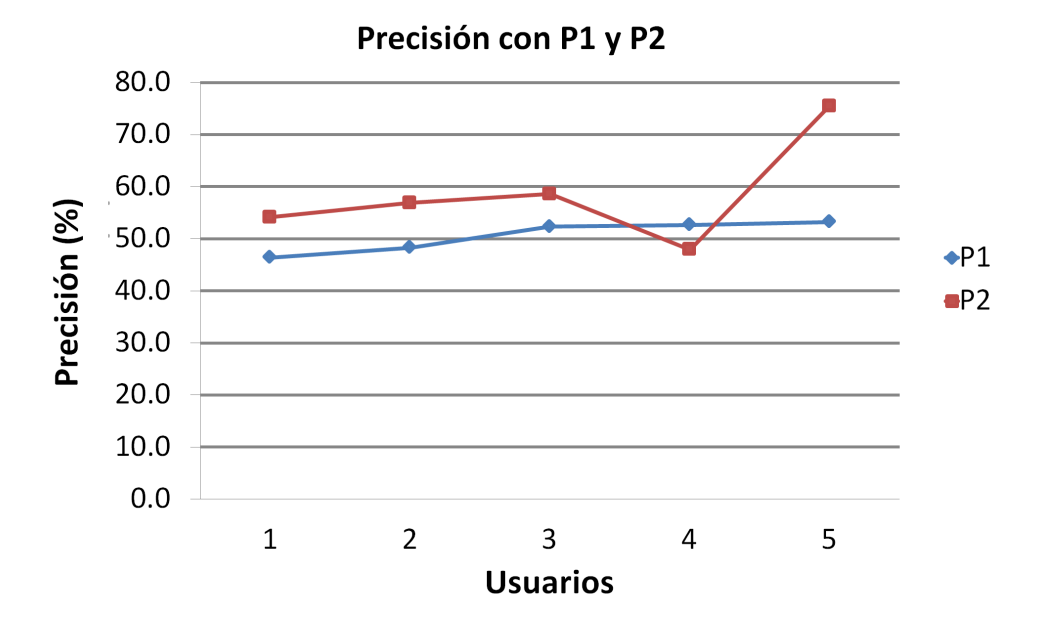


Figura 3: Precisión media por usuario utilizando el procesamiento 1 y 2.

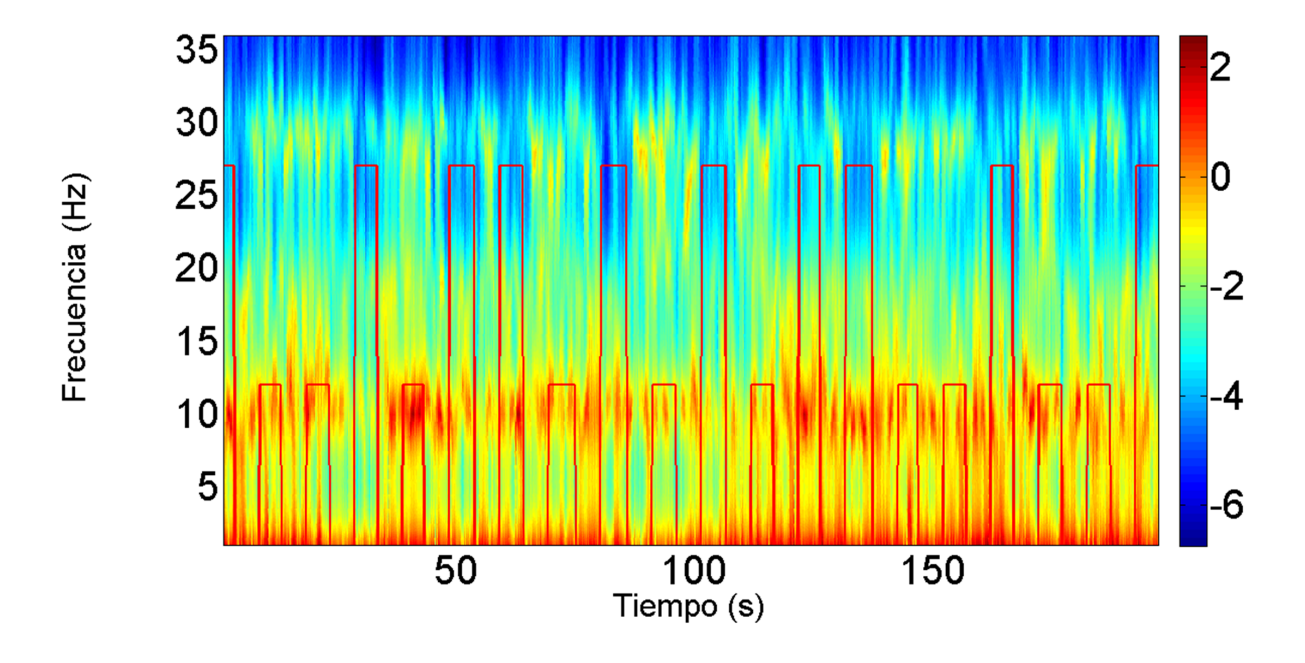


Figura 4: Espectro de frecuencias a lo largo del tiempo para el electrodo Cz del sujeto 5. La linea roja representa la tarea a realizar: 0 representa el "+" indicando el cambio de tarea, 12 el usuario se tenía que relajar, 27 el usuario imaginaba el pedaleo.

estimulación Hebbiana y estimulación asociativa pareada durante la rehabilitación de la marcha (con referencia DPI2014-58431-C4-2-R), financiado por el Ministerio de Economía y Competitividad (Plan Estatal de I+D+I) y por la Unión Europea a través del Fondo Europeo de Desarrollo Regional - FEDER "Una manera de hacer Europa".

Referencias

[1] Ang, K. K., Guan, C., Chua, K. S. G., Ang, B. T., Kuah, C., Wang, C., Zhang, H. (2010, August). Clinical study of neurorehabilitation in stroke using EEG-based motor imagery brain-computer interface with robotic feedback. In Engineering in Medicine and Biology Society (EMBC), 2010 Annual International Conference of the IEEE (pp. 5549-

5552). IEEE.

- [2] Ang, K. K., Guan, C., Chua, K. S. G., Ang, B. T., Kuah, C. W. K., Wang, C., Zhang, H. (2011). A large clinical study on the ability of stroke patients to use an EEG-based motor imagery brain-computer interface. Clinical EEG and Neuroscience, 42(4), 253-258.
- [3] Hanakawa, T., Immisch, I., Toma, K., Dimyan, M. A., Van Gelderen, P., Hallett, M. (2003). Functional properties of brain areas associated with motor execution and imagery. Journal of Neurophysiology, 89(2), 989-1002.
- [4] Hanakawa, T. (2016). Organizing motor imageries. Neuroscience research, 104, 56-63.
- [5] Pérez Menéndez, A., El5%de los españoles de 65 años mayores han tenido un ictus. [Online]. http://www.sen.es/saladeprensa/pdf/Link198.
- [6] Angulo-Sherman, I.N., Rodríguez-Ugarte, M., Iáñez, E., Azorín, J.M. (2017). Classification of Gait Motor Imagery while Standing Based on Electroencephalographic Bandpower. 7th international work-conference on the interplay between natural and artificial computation (IWINAC). Aceptado.
- [7] Rodríguez-Ugarte, M., Angulo-Sherman, I.N., Iáñez, E., Ortíz, M., Azorín, J.M. (2017). Offline and Pseudo-online Classification of Pedaling Imagery Based on Electroencephalographic Signals. IEEE international conference on systems, man, and cybernetics (SMC). Enviado
- [8] Sitaram, R., Zhang, H., Guan, C., Thulasidas, M., Hoshi, Y., Ishikawa, A., Birbaumer, N. (2007). Temporal classification of multichannel near-infrared spectroscopy signals of motor imagery for developing a brain-computer interface. NeuroImage, 34(4), 1416-1427.
- [9] Wolpaw, J. R., Birbaumer, N., McFarland, D. J., Pfurtscheller, G., Vaughan, T. M. (2002). Brain-computer interfaces for communication and control. Clinical neurophysiology, 113(6), 767-791.